

ОСОБЕННОСТИ СТАТИЧЕСКИХ СМЕЩЕНИЙ ВОКРУГ ОДИНОЧНЫХ ПРИМЕСНЫХ АТОМОВ В ГПУ РЕШЕТКЕ

В.М. Силонов, А.Ю. Гениев, И.В. Харламова

(кафедра физики твердого тела)

E-mail: silonov_v@mail.ru

Расчет полей смещений вблизи одиночных примесных атомов замещения в ГПУ структуре, выполненный в микроскопическом приближении, выявил нехаотичный характер расположения векторов смещений атомов матрицы. Это обусловлено как различием размеров примесного атома и атомов матрицы, так и особенностями ГПУ структуры.

Попытки расчета полей статических смещений вокруг точечных дефектов в ГЦК структуре предпринимались еще в 1957 г. [1] (рассматривались лишь дефекты в твердом аргоне). В работах [2–4] в рамках макроскопической теории проводились расчеты статических смещений вдали от дефектов. Использование микроскопического приближения для ОЦК структуры привело к выявлению нехаотичности в расположении векторов смещений атомов матрицы вокруг одиночных примесных атомов замещения [5]. В настоящей работе выполнен расчет полей статических смещений в ГПУ металла вблизи одиночной примеси замещения в рамках модели Борна–Бегби.

В рамках метода флюктуационных волн [6, 7] при наличии дефектов в кристалле обнаруживается смещение его атомов из узлов идеальной периодической решетки на величину

$$\delta \mathbf{R}_{s\gamma} = i \sum_{\mathbf{k}} \mathbf{R}_{\mathbf{k}\gamma} e^{-i\mathbf{k}\mathbf{R}_{s\gamma}},$$

где \mathbf{k} — волновой вектор волны смещений, $\mathbf{R}_{s\gamma}$ — вектор s -го узла идеальной решетки кристалла, γ — индекс подрешетки, $i = \sqrt{-1}$, $\mathbf{R}_{\mathbf{k}\gamma}$ — фурье-образ вектора статических смещений:

$$\mathbf{R}_{\mathbf{k}\gamma} = -\frac{i}{N} \sum_{s=1}^N \delta \mathbf{R}_{s\gamma} e^{i\mathbf{k}\mathbf{R}_{s\gamma}},$$

N — число атомов кристалла. В линейном приближении величина $\mathbf{R}_{\mathbf{k}\gamma}$ связана с фурье-образом отклонений чисел заполнения $c_{s\gamma}$ от концентрации c_γ соотношением

$$\mathbf{R}_{\mathbf{k}\gamma} = -\frac{i}{N} \sum_s \sum_\gamma \mathbf{A}_{\mathbf{k}\gamma} c_{\mathbf{k}\gamma},$$

где

$$c_{\mathbf{k}\gamma} = \frac{1}{N} \sum_{s=1}^N (c_{s\gamma} - c_\gamma) e^{i\mathbf{k}\mathbf{R}_{s\gamma}}.$$

Коэффициенты пропорциональности $\mathbf{A}_{\mathbf{k}\gamma}$ могут быть найдены из системы линейных уравнений

$$\hat{D}_{\mathbf{k}\gamma}^{11} \mathbf{A}_{\mathbf{k}\gamma 1\gamma} + \hat{D}_{\mathbf{k}\gamma}^{12} \mathbf{A}_{\mathbf{k}\gamma 2\gamma} = P_{\mathbf{k}\gamma}^{1\gamma},$$

$$\hat{D}_{\mathbf{k}\gamma}^{21} \mathbf{A}_{\mathbf{k}\gamma 1\gamma} + \hat{D}_{\mathbf{k}\gamma}^{22} \mathbf{A}_{\mathbf{k}\gamma 2\gamma} = P_{\mathbf{k}\gamma}^{2\gamma}.$$

Конкретные выражения для динамических матриц $D_{\mathbf{k}\gamma}^{\gamma\gamma'}$ и квазиупругих сил были получены в модели Борна–Бегби [8]. Для ГПУ металлов динамическая матрица $D_{\mathbf{k}\gamma}$ в приближении Борна–Бегби имеет вид [7]

$$\begin{aligned} D_{\mathbf{k}xx}^{11} &= -3(\alpha_1 + \beta_1 + \alpha_2 + \beta_2) + (\alpha_1 + 3\alpha_2) C_x C_y + \\ &\quad + 2\alpha_1 C_{xx}, \\ D_{\mathbf{k}yy}^{11} &= -3(\alpha_1 + \beta_1 + \alpha_2 + \beta_2) + (\alpha_2 + 3\alpha_1) C_x C_y + \\ &\quad + 2\alpha_2 C_{xx}, \\ D_{\mathbf{k}zz}^{11} &= -6(\alpha_3 + \beta_3) + 2\alpha_3 (2C_x C_y + C_{xx}), \\ D_{\mathbf{k}xy}^{11} &= -\sqrt{3}(\alpha_1 - \alpha_2) S_x S_y - i\alpha_4 S_x (C_x - C_y), \\ D_{\mathbf{k}yx}^{11} &= -\sqrt{3}(\alpha_1 - \alpha_2) S_x S_y + i\alpha_4 S_x (C_x - C_y), \\ D_{\mathbf{k}xz}^{11} &= D_{\mathbf{k}zx}^{11} = D_{\mathbf{k}yz}^{11} = D_{\mathbf{k}zy}^{11} = 0, \\ D_{\mathbf{k}xx}^{21} &= 2\beta_1 C_z e^{i2y_1} + (\beta_1 + 3\beta_2) C_x C_z e^{-iy_1}, \\ D_{\mathbf{k}yy}^{21} &= 2\beta_2 C_z e^{i2y_1} + (\beta_2 + 3\beta_1) C_x C_z e^{-iy_1}, \\ D_{\mathbf{k}zz}^{21} &= 2\beta_3 C_z (e^{i2y_1} + C_x e^{-iy_1}), \\ D_{\mathbf{k}xy}^{21} &= Q_{\mathbf{k}xy}^{21} = i\sqrt{3}(\beta_1 - \beta_2) C_z S_x e^{-iy_1}, \\ D_{\mathbf{k}xz}^{21} &= Q_{\mathbf{k}xz}^{21} = -2\sqrt{3}\beta_4 S_z S_x e^{-iy_1}, \\ D_{\mathbf{k}yz}^{21} &= Q_{\mathbf{k}yz}^{21} = -i \cdot 2\beta_4 S_z (C_x e^{-iy_1} - e^{i2y_1}). \end{aligned}$$

Здесь \mathbf{k} — волновой вектор, приведенный к первой ячейке обратной решетки,

$$C_x = \cos x; \quad C_y = \cos y; \quad C_z = z; \quad C_{xx} = \cos 2x;$$

$$S_x = \sin x; \quad S_y = \sin y; \quad S_z = \sin z,$$

$$x = \frac{k_x a}{2}; \quad y = \frac{k_y a \sqrt{3}}{2}; \quad z = \frac{k_z c}{2}; \quad xx = 2x; \quad y_1 = \frac{y}{3},$$

a, c — параметры решетки твердого раствора, c_{ij} — упругие постоянные ГПУ твердого раствора, α_i и β_i — силовые постоянные.

Коэффициенты $P_{\mathbf{k}i}^{\gamma\gamma'}$ определяются силовыми постоянными W и W' :

$$\begin{aligned} P_{\mathbf{k}x}^{11} &= 2W(S_{xx} + S_x C_y), \quad P_{\mathbf{k}y}^{11} = 2\sqrt{3}WS_yC_x, \\ P_{\mathbf{k}z}^{11} &= 0, \quad P_{\mathbf{k}x}^{12} = K \cdot 4\sqrt{3}aW'S_xC_z e^{iy_1}, \\ P_{\mathbf{k}y}^{12} &= iK \cdot 4aW'C_z(e^{i2y_1} - C_x e^{-iy_1}), \\ P_{\mathbf{k}z}^{12} &= K \cdot 2\sqrt{3}cW'S_z(e^{-i2y_1} + 2C_x e^{iy_1}), \end{aligned}$$

где $K = 1/\sqrt{4a^2 + 3c^2}$. Силовые постоянные W и W' можно выразить через величины, характеризующие зависимость параметров решеток a, c от концентрации раствора C :

$$\begin{aligned} W &= \frac{1}{4\sqrt{3}}ca \left[(c_{11} + c_{12}) \frac{1}{a} \frac{\partial a}{\partial C} + c_{13} \frac{1}{c} \frac{\partial c}{\partial C} \right] - \\ &\quad - \frac{1}{3\sqrt{3}}a^2 \left[2c_{13} \frac{1}{a} \frac{\partial a}{\partial C} + c_{33} \frac{1}{c} \frac{\partial c}{\partial C} \right]; \\ W' &= \frac{a^2 \sqrt{4a^2 + 3c^2}}{12c} \left[2c_{13} \frac{1}{a} \frac{\partial a}{\partial C} + c_{33} \frac{1}{c} \frac{\partial c}{\partial C} \right]. \end{aligned}$$

Силовые постоянные α_i и β_i связаны друг с другом соотношением

$$3\alpha_3 + \beta_3 = \frac{3c^2}{4a^2} (\beta_1 + \beta_2),$$

вытекающим из требования отсутствия внутренних напряжений. Их связь с модулями упругости кристаллов с ГПУ решеткой имеет вид

$$\begin{aligned} c_{11} &= \frac{\sqrt{3}}{2c} \left(3\alpha_1 + \alpha_2 + \frac{2\beta_2(\beta_1 + \beta_2)}{(\beta_1 - \beta_2)} \right), \\ c_{66} &= \frac{1}{2}(c_{11} - c_{12}) = \frac{1}{2\sqrt{3}c} \times \\ &\quad \times \left(3(\alpha_1 + 3\alpha_2) + (3\beta_1 + \beta_2) + \frac{(\beta_1 + \beta_2)^2}{(\beta_1 - \beta_2)} \right), \\ c_{33} &= \frac{\sqrt{3}c}{a^2} \beta_3, \\ c_{44} &= \frac{2\sqrt{3}}{c} \alpha_3, \\ c_{13} - c_{44} &= -\frac{2}{3}\beta_4. \end{aligned}$$

В случае ГПУ структуры векторы смещений атомов матрицы для каждой из подрешеток связаны с существенно различными коэффициентами $\mathbf{A}_{\mathbf{k}11}$ и $\mathbf{A}_{\mathbf{k}21}$:

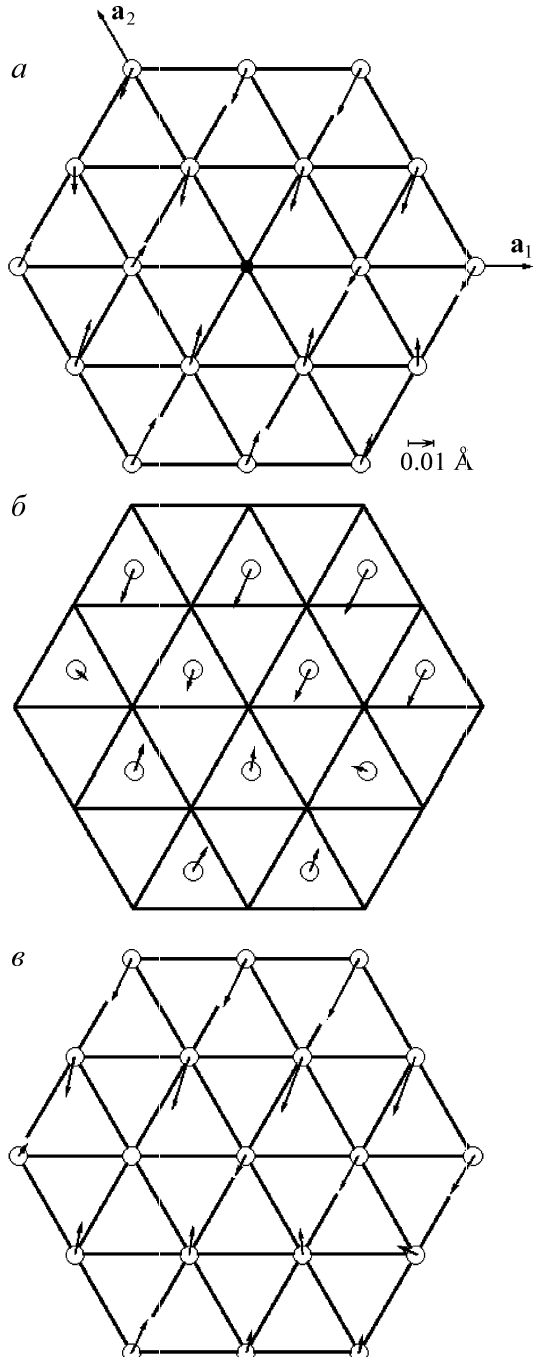
$$\delta\mathbf{R}_{s1} = \frac{i}{N} \int \mathbf{A}_{\mathbf{k}11} e^{-i\mathbf{k}\mathbf{R}_{s1}} d\mathbf{k}, \quad (1)$$

$$\delta\mathbf{R}_{s2} = \frac{i}{N} \int \mathbf{A}_{\mathbf{k}21} e^{-i\mathbf{k}\mathbf{R}_{s2}} d\mathbf{k}. \quad (2)$$

Расчеты полей статических смещений были проведены на примере одиночных примесей индия в решетке магния. Были выбраны следую-

щие параметры: $a_{\text{Mg}} = 3.21 \text{ \AA}$, $c_{\text{Mg}} = 5.21 \text{ \AA}$, $c_{11} = 0.594 \cdot 10^{12}$, $c_{12} = 0.256 \cdot 10^{12}$, $c_{13} = 0.214 \cdot 10^{12}$, $c_{33} = 0.616 \cdot 10^{12}$, $c_{44} = 0.164 \cdot 10^{12}$ (дин/см²), $\frac{1}{a} \frac{\partial a}{\partial C} = -0.04$, $\frac{1}{C} \frac{\partial C}{\partial c} = 0.005$.

Проверка правильности использованных в работе выражений для динамических матриц проводилась путем расчета фононных спектров $\nu(\mathbf{k})$. Оказалось, что рассчитанные и экспериментальные [9] кривые фононных спектров удовлетворительно согласуются. Расчеты $\delta\mathbf{R}_s$ проводились численным интегрированием (1), (2) по неприводимой части зоны Бриллюэна, при этом число точек суммирования



Проекции векторов статических смещений атомов магния вблизи атома индия, лежащих в плоскостях: $z = 0$ (a), $z = 0.5c$ (b), $z = c$ (c)

увеличивалось до тех пор, пока не достигалась сходимость результатов. В ГПУ структуре кристаллическая решетка разбивается на две подрешетки. В соответствии с этим узлы, принадлежащие к первой и второй координационным сферам, имеют весьма близкие радиусы (3.20 и 3.21 Å в случае магния) и относятся к разным подрешеткам. К первой подрешетке относятся узлы $[[10\bar{1}0]]$, $[[11\bar{2}0]]$, $[[0110]]$, $[[\bar{1}010]]$, $[[\bar{1}\bar{1}20]]$, $[[0\bar{1}10]]$ (вторая координационная сфера), а ко второй — узлы $[[\frac{2}{3}\frac{1}{3}\bar{1}\frac{1}{2}]]$, $[[\frac{\bar{1}}{3}\frac{1}{3}0\frac{1}{2}]]$, $[[\frac{\bar{1}}{3}\frac{2}{3}\bar{1}\frac{1}{2}]]$ и $[[\frac{2}{3}\frac{1}{3}\bar{1}\frac{1}{2}]]$, $[[\frac{\bar{1}}{3}\frac{1}{3}0\frac{1}{2}]]$, $[[\frac{\bar{1}}{3}\frac{2}{3}1\frac{1}{2}]]$ (первая координационная сфера). Из результатов расчетов смещений, возникающих из-за присутствия одиночных примесей индия в матрице магния (рисунок), следует, что характер смещений атомов, находящихся в узлах второй подрешетки, различен. Так, смещения атомов в узлах $[[\frac{1}{3}\frac{1}{3}0\frac{1}{2}]]$, $[[\frac{\bar{1}}{3}\frac{1}{3}0\frac{1}{2}]]$ и $[[\frac{\bar{1}}{3}\frac{2}{3}1\frac{1}{2}]]$, $[[\frac{\bar{1}}{3}\frac{2}{3}1\frac{1}{2}]]$ практически тангенциальные, а смещения атомов в узлах $[[\frac{2}{3}\frac{1}{3}\bar{1}\frac{1}{2}]]$ и $[[\frac{2}{3}\frac{1}{3}\bar{1}\frac{1}{2}]]$ имеют значительные радиальные составляющие.

В отличие от атомов первой координационной сферы, во второй координационной сфере смещения двух атомов: $[[11\bar{2}0]]$ и $[[\bar{1}\bar{1}20]]$ практически радиальные, в то время как смещения других атомов носят главным образом тангенциальный характер.

Смещения атомов, находящихся в узлах $[[0001]]$ и $[[000\bar{1}]]$, принадлежащих к четвертой координационной сфере и второй подрешетке, практически тангенциальные.

Смещения атомов в третьей координационной сфере, находящихся в узлах $[[\frac{2}{3}\frac{4}{3}\bar{2}\frac{1}{2}]]$ и $[[\frac{2}{3}\frac{4}{3}\bar{2}\frac{1}{2}]]$, носят в основном радиальный характер, а в других узлах — смешанный (и радиальный и тангенциальный).

Приведенные данные говорят о том, что в ГПУ структуре замещение одного атома магния атомом

индия приводит к коррелированным смещениям ближайших атомов магния. Большинство векторов статических смещений, как видно из рисунка, лежат в плоскостях, практически параллельных плоскости $(1\bar{1}00)$. По-видимому, это связано с особенностями взаимодействия примесного атома индия с соседними атомами магния, расположенными в обеих подрешетках ГПУ матрицы. Обнаруженный в работе [5] скоррелированный характер смещений для ОЦК структуры вместе с полученными в настоящей работе результатами свидетельствуют об общем характере корреляции смещений в разбавленных твердых растворах с различной кристаллической структурой. Описанные результаты были получены в рамках микроскопической теории в длинноволновом приближении. Представляет интерес проведение подобных расчетов методом модельного потенциала.

Литература

1. Kanazaki H. // J. Phys. Chem. Solids. 1957. **2**. P. 24.
2. Flocken J.W., Hardy J.R. // Phys. Rev. B. 1970. **1**, No. 6. P. 2472.
3. Dederichs P.H., Pollman J. // Z. f. Phys. 1972. **255**, No. 4. P. 315.
4. Soma T. // Physica B. 1977. **92**. P. 17.
5. Силонов В.М., Харlamова И.В., Гениев А.Ю. // Вестн. Моск. ун-та. Физ. Астрон. 2001. № 3. С. 79.
6. Кривоглаз М.А. Теория рассеяния рентгеновских лучей и тепловых нейтронов реальными кристаллами. М.: Наука, 1967.
7. Кривоглаз М.А., Тю Хао // Металлофизика. 1968. № 24. Р. 63.
8. Begbie G.H., Born M. // Proc. Roy. Soc. 1947. **A188**. P. 179.
9. Shaw R.W., Pynn R. // J. Phys. C. 1969. **2**. P. 2071.

Поступила в редакцию
26.10.01